

高压设备绝缘

黄齐海 邓伟霖 王幼林 编

哈尔滨工业大学

1961.8

前　　言

本教材系根据1959年所制定的“高压设备絕緣”全国统一教学大綱及1961年五月在北京清华大学召开的四門高压专业課教材討論会中所确定的提綱編写的。全书共分七章，分別介紹空气中沿固体介质表面放电現象、以及絕緣子、电容器、电缆、变压器、电机等設備的絕緣结构形式及所使用的材料、絕緣性能、結構选定的設計計算方法和絕緣质量检查的試驗方法，最后詳細的介绍了保証設備絕緣在运行中的安全可靠所采用的預防試驗方法及其簡單原理和使用的設備。

在編寫教材中由于時間仓率沒有能很好的与各方面进行較詳細的討論和征求意見，因此在內容取材上及安排的系統性上都值得討論。同时由于我国許多标准和規格都在進行修改和重新制定，而我們手头又缺乏这方面的資料，故在联系我国生产实际方面較差，特別是如何貫彻以辯証唯物主义觀点来分析課程的发展規律，掌握其主要矛盾和矛盾的主要方面，从而提出今后的方向这一点上由于編写人的水平所限几乎沒有反映到教材內容中去。因此希望各兄弟学校能广泛提出意見以便今后进一步改进和提高，达到逐步成为一本較完善的教材，而为国家培养高质量的干部作一份貢獻。

本教材系由哈尔滨工大高压教研室組織編写的，其中緒論及第一章，第二章，第五章和第六章由黄齐嵩同志編写，第三章及第六章中之絕緣材料部份由王幼耕同志編写，第四章及第七章由邓伟霖同志編写。在編寫中承清华大学、西安交大及华中工学院等兄弟學校提出很多宝贵意見，謹此对他們表示感謝。

TM8/3 10516

目 录

緒 論

- 一、本課程的研究对象及在高压技术中的地位 (1)
二、高压设备绝缘的工作条件及绝缘选定的根据 (3)

第一章 在空气中沿固体介质表面放电現象 (7)

- § 1—1 均匀电場中之沿面放电現象 (8)
§ 1—2 不均匀电場中之沿面放电現象 (9)
§ 1—3 提高沿面放电电压的方法 (18)
§ 1—4 介質表面被淋湿时的沿面放电現象 (21)
§ 1—5 固体介质表面脏污时之沿面放电 (26)
§ 1—6 大气条件对沿面放电的影响 (30)

第二章 高压絕緣子 (36)

- § 2—1 絶緣子所使用的材料和性能 (36)
§ 2—2 線路絕緣子 (37)
§ 2—3 悬式絕緣子串 (41)
§ 2—4 支持絕緣子 (56)
§ 2—5 高压套管 (68)
§ 2—6 絶緣子的电和机械性能 (94)
§ 2—7 玻璃絕緣子 (99)
§ 2—8 大气脏污地区之絕緣問題 (103)
§ 2—9 絶緣子的試驗 (110)

第三章 高压电容器 (117)

- § 3—1 电力电容器的分类 (119)
§ 3—2 电力电容器所用的材料 (120)
§ 3—3 油紙絕緣的电气特性 (124)
§ 3—4 电力电容器的结构与設計 (133)
§ 3—5 合成油浸紙电容器 (147)
§ 3—6 实驗室用高压电容器 (149)
§ 3—7 油紙电容器的制造工艺 (153)
§ 3—8 金属化紙电容器 (154)
§ 3—9 电力电容器的試驗及其在运行中的維护 (158)

第四章 高压电纜 (165)

- § 4—1 浸胶电纜的结构、材料和工艺 (166)

§ 4—2	电力电缆的电性能	(174)
§ 4—3	电力电缆的热性能	(190)
§ 4—4	35千伏以上的高压电缆	(197)
§ 4—5	电缆线路的结构	(207)
§ 4—6	电缆的试验	(213)
第五章 变压器绝缘		(218)
§ 5—1	变压器所使用的主要绝缘材料	(218)
§ 5—2	变压器油的老化及击穿	(219)
§ 5—3	提高变压器油抗电强度的方法	(221)
§ 5—4	变压器油中的沿固体介质表面放电	(226)
§ 5—5	变压器油击穿电压的实验数据	(228)
§ 5—6	变压器绝缘结构	(232)
§ 5—7	变压器绝缘的计算	(254)
§ 5—8	变压器绝缘结构的几种其他形式	(263)
§ 5—9	干式变压器的绝缘	(269)
§ 5—10	电压互感器绝缘	(273)
§ 5—11	变压器绝缘的试验	(276)
第六章 电机绝缘		(283)
§ 6—1	电机绝缘结构中所应用的材料	(284)
§ 6—2	电机绝缘结构的基本形式	(297)
§ 6—3	电机中的电量现象及其消除办法	(306)
§ 6—4	30千伏及更高电压之电机的静子绝缘	(318)
§ 6—5	电机绝缘的电性能	(320)
§ 6—6	电机绝缘之使用寿命及加速热老化试验	(324)
§ 6—7	电机绝缘的试验	(332)
第七章 高压绝缘的预防性试验		(340)
§ 7—1	常用预防性试验方法及原理	(341)
§ 7—2	预防性试验用设备及测量	(353)
§ 7—3	各种设备所采用的预防性试验方法的特点	(369)

附录：“高压变压器、电器及绝缘子的试验电压”国家标准草案。

緒論

一、本課程的研究对象及在高压技术中的地位

电力工作者的首要任务是保証电气设备經濟可靠的运行，使国民经济建設得到不间断的电力供应。

高压电气设备在电力系統中是否可靠的运行很主要是决定于作用在絕緣上的电压及絕緣本身的抗电能力，当絕緣的抗电能力达到或超过作用于其上的电压的破坏作用时，则設備可以安全运行，反之設備的絕緣就会被破坏，而引起电力供应中断。

电力系統正常运行时，所有电气设备的絕緣是处于工作电压作用下，但由于各种原因常会引起电力系統中的电压升高，即产生过电压，这种过电压的数值大大超过正常工作电压，很容易使絕緣设备内部产生游离放电，造成絕緣的破坏。只有絕緣的抗电强度足够大时，即絕緣的抗电能力和过电压的破坏作用之間达到平衡时，才能够保証电气设备不致损坏。因此要保証高压设备安全可靠的运行，需要从两方面着手，即設法降低和限制作用于设备上的过电压数值，使絕緣不需要很高的抗电强度就可以与过电压的破坏作用相平衡。另一方面就是提高絕緣本身的抗电能力（即改善絕緣结构，采用新的絕緣材料和新的制造工艺），使在較高的过电压作用之下也不会引起絕緣的破坏，这两个方面也就是高压技术当前最主要的问题。

关于降低和限制过电压的数值問題将在过电压課程中詳細論述，而提高设备絕緣的抗电能力是本門課程的研究任务。

电压作用在设备的絕緣上，它将根据设备结构的不同而产生不同大小的电場强度，虽然电压幅值不是很髙，但有时所形成的电場强度却会很大，当此电場强度达到一定的数值时也同样会使絕緣遭到破坏，因此本課程所要解决的問題，就是研究如何使电場强度（结构合理）的破坏作用与絕緣本身（材料及工艺的）抵抗这种破坏作用的能力之間达到平衡，以保証电气设备的絕緣能既經濟又安全的运行。所以高压设备絕緣这门科学就是随着电力系統之工作电压的提高为了介决这种矛盾，而不断发展的。

要解决这一矛盾，同样也是从矛盾的两方面着手，一方面就是改造设备的絕緣结构使作用在絕緣上的电压所形成的电場强度尽可能的小，不超过絕緣的破坏电場强度，这是本課程的主要內容。另一方面是采用新的絕緣材料和制造工艺以提高絕緣抵抗电場强度破坏作用的能力。在介决高压设备絕緣的問題中，到底是從矛盾的这一方面，即减小电場强度（改善絕緣结构）着手，还是从矛盾的另一方面，提高絕緣的抗电能力（采用新材料新工艺）着手，是根据生产发展需要而决定的。当电力系統工作电压提高，作用在设备上的电压高，所形成的电場强度大，而使得矛盾的統一被破坏，此时电場强度的破

坏作用就成为矛盾的主要方面。我們也就必須从改善结构减弱电場强度来使得矛盾得到统一，反之当电場已足够均匀或无法再减弱时，电压提高后所形成的电場强度仍然超过絕緣的抵抗能力，此时提高絕緣的抵抗能力（采用新材料及新工艺）就成为支配絕緣发展的主要方面。

例如电容套管的发展就充分說明了这一过程。在电压不高时套管的结构很简单仅为一个絕緣材料做成的圆柱体中間放置导电体，当电压升高后，由于电場不均匀，电場强度很大，使矛盾的平衡统一被破坏，为了介决矛盾而提出了采用电容式结构的套管，这样电場分布可以变得很均匀。但由于最初制成电容套管所用的胶木紙之抗电强度不高，散热系数不好，同时制造时在絕緣中残留有空气隙，故当电压升高后，所形成的电場强度又会使絕緣损坏，即矛盾統一被破坏。这就要求从改善工艺和采用新的材料着手使矛盾能够平衡統一，所以現在 330 千伏以上电容式套管采用了油紙絕緣材料和真空處理工艺。

其他电气设备的絕緣也同以上所談的电容套管一样由改善结构及采用新的材料和工艺交替发展来使矛盾达到平衡統一的，在目前來說大部分电气设备的结构均能够使电場分布达到比較均匀，絕緣材料的抗电能力及制造工艺在現在的技术水平下也达到比較充分的發揮和較高的水平，但是所制造出的絕緣设备是否达到很理想的地步呢？不是的，为使絕緣的抗电能力与电場引起的破坏能力这一矛盾达到平衡統一，在运行中能够安全可靠，現在所制造出的设备就很笨重，又不經濟，例如 400 千伏之套管其高度达 6 米，重达 4.5 吨。随着电力系統不断的发展，要求把系統的工作电压进一步提高，这样制造出的絕緣设备将不只是笨重或不經濟的問題了，而是能不能制造出所需要的设备問題。因此就出現了生产上要求改变设备絕緣現狀的革命形势，即設法采用新的既經濟又安全的絕緣措施来滿足电力事业飞速发展的需要，以保証国民經濟建設得到充分的电力供应。如何完成这一任务是摆在我們高压工作者面前的光荣而艰巨的任务。

高压设备絕緣問題这門科学是随着电力系統的工作电压不断提高而迅速的发展，目前世界各国已广泛的采用330—400千伏的輸电線路，相应的制出了这种电压等級的各种电气设备，并且运行良好。苏联所建造的举世有名的古比雪夫至莫斯科的 400 千伏線路已运行数年。最后由于对降低絕緣水平措施的研究取得了很大的成就，已将 400 千伏电压線路改为 500 千伏电压运行，这充分說明了在高压絕緣工程方面所取得的巨大成績。

对我国來說，正如其他所有科学技术和工业生产一样，高压设备絕緣这門科学与制造工业在党的关怀及国民經濟建設飞速发展的需要下，完全由无到有，从落后赶上或接近世界先进水平。同样以套管为例，解放前我国仅能制造电压不超过10千伏简单的瓷套管。而解放后在党的领导下和苏联无私的帮助下从仿制到完全自行設計，現在已能大量生产 220 千伏以下各級电压各类型套管。和套管一样其他设备的絕緣制造問題解放后也都是从无到有得到巨大的发展，如在所修建的許多 220 千伏电力系統中采用了我国自己制造的各种电气设备，这些设备，都能安全可靠的运行。不仅如此，我国在把輸电線路升高电压运行上也取得很大的成就和經驗，过去几年已将大部分154千伏电压線路升压至220千伏运行，現在正进行将220千伏升至更高电压等級运行問題的研究。特別應該提到的是在58年大跃进以后我国在高压设备絕緣这門科学上所取得的成就更是史无前例的，它不仅反映在科学研究，生产技术水平上，同时也反映在运行維护上，如

創造了絕緣的帶電檢修及在帶電時對絕緣的工作狀況進行監視和試驗等。當然要滿足祖國經濟建設需要，我們還必須作更大的努力，為高壓設備絕緣這門科學開辟新的途徑，創造出優異的成績來，以不辜負黨和人民對我們殷切的希望。

二、高壓設備絕緣的工作條件及絕緣選定的根據

以上我們談到要保證電氣設備在運行中安全可靠必須要解決過電壓的破壞作用與絕緣的抵抗能力之間所存在的矛盾使它達到平衡統一。本課程的目的就是從提高絕緣的抵抗能力這一方面來解決矛盾，使矛盾達到統一的，但是要解決矛盾我們必須知道矛盾的兩個方面，因此在本課程開始時我們將簡易的介紹一下有關過電壓的作用情況。另外一些其他的因素（如溫度及機械力等）也会影响到絕緣的抵抗能力，故也必須了解這方面的情況，只有如此，我們才能正確的去解決提高絕緣抵抗能力問題。下面將介紹有關電的，機械的及溫升等方面對絕緣的作用情況和要求。

1. 電的要求

任何高壓電器設備的絕緣都必須保證在下列電壓作用下安全可靠的運行。

- a). 長期最大工作電壓；
- b). 內部過電壓（操作過電壓）；
- c). 外部過電壓（大氣過電壓）。

長時間在最大工作電壓作用下可能導致絕緣的熱擊穿及化學變化等，許多絕緣介質，如油紙絕緣等之抗電強度將隨電壓作用時間增長而迅速降低，所以最大工作電壓是決定絕緣使用壽命的基本因素，必須要求絕緣的抗電強度在最大工作電壓長期作用下不改變。

運行中長時間最大工作電壓決定於設備的工作電壓和電力系統的中性點接地方式，為了系統的調壓需要，設備的運行電壓較工作電壓高出一百個百分數，此數值在工作電壓3—220千伏時為15%，330千伏—10%，400千伏以上—5%。

當電力系統中性點直接接地時，最大工作相電壓為 $U_{\text{ph}} = \frac{(1+k)U_n}{\sqrt{3}}$ ，(U_n : 頂定工作電壓)；當中性點絕緣時，最大工作線電壓為 $U_{\text{lx}} = (1+k)U_n$ 。

內部及外部過電壓的幅值均很高，但作用時間則較短。由於它們的幅值高，所以大部設備的絕緣主要是根據這兩種電壓來選定的，下面我們將簡略的介紹這兩種電壓的情形，以及如何根據它來選定絕緣尺寸的。

內部過電壓的幅值及持續時間是與電力系統的工作電壓，接地方式，系統參數，電器設備性能和產生的條件有關。從持續時間來說一般可分為兩大類。

a) 過電壓作用時間不超過1—2周波，為很快的高頻振蕩波迭加在50周波的基波上，屬於這一類的過電壓有切斷無載變壓器，及切斷無載電路，但在斷路器產生次數不多的電弧重燃時所形成之過電壓。

b) 高頻或頻率接近於工頻，而在十分之几秒鐘內重複着，當切斷無載線路時斷路器中產生多次重燃形成之過電壓，及其共振過電壓和系統中點絕緣時所產生之過電壓等均屬於這一類。

在内部过电压中以切断空载变压器时所产生的过电压之幅值最高可达6倍以至7倍的工作电压(相电压)。不过这种过电压的持续时间很短，一般不超过几分之一的工频半周波，它接近于冲击波之作用时间。另一种幅值较高的过电压为切断无载长线路时所产生的过电压，这种过电压是与开关中的电弧重燃之次数有关，电弧重燃之次数愈多过电压的倍数愈大。苏联电工研究所以M KII型油断路器进行切断无载线路试验所得出的电弧重燃次数与过电压倍数之关系如图0—1所示。

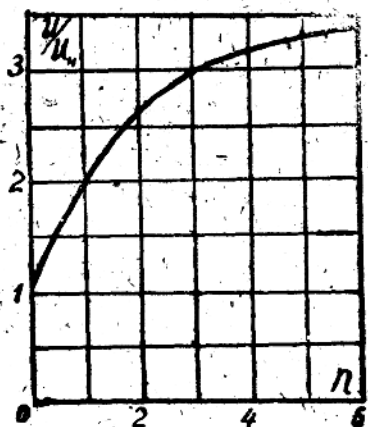


图0—1 内部过电压倍数与电弧重燃次数之关系

由图中可以看出，过电压的倍数是随电弧重燃次数增多而增高，最初增高的速度很快，但至一定次数后过电压倍数增加较慢，不过在现代之断路器中大部分接有并联电阻，因此其过电压数将降低，根据一些国家的研究和测量结果，此种过电压最大数值将不超过2.5倍工作相电压。

所有内部过电压的幅值均是一种统计数值，根据实测和试验研究的结果。各种过电压之倍数出现的忽然率是与倍数大小有关，过电压倍数愈高，其出现的忽然率愈小，图0—2给出了这种关系。由图中可以看出超过4倍工作相电压之过电压的忽然率不大于1%。根据研究分析和试验结果指出，过电压的倍数还随工作电压的升高而减小，同时当系统中性点直接接地时，过电压之倍数将降低。系统中性点绝缘或经消弧线圈接地时，其过电压较高，因此现有电力设备计算内部过电压之倍数一般按下表选定。

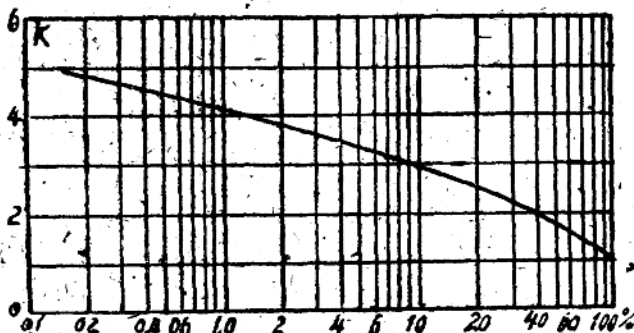


图0—2 内部过电压倍数出现的忽然率

表0—1 計算时所用操作过电压倍数的极限值〔文献〕

工作电压千伏	< 35	35	110	154	220	400
倍数 K	4.5	4	3.5	3.35	3.2	3.0

〔文献〕 А.М. Залесский Электрические аппараты высокого напряжения 1957. 216面

種各電氣設備之工頻試驗电压及其外部絕緣之擊穿电压均由內部過電壓倍數來確定，特別是330千伏以上电压等級內部過電壓對決定絕緣將起主要作用。內部過電壓出現的倍數如降低，則設備絕緣尺寸可以大大減小。如內部過電壓倍數由3.0降至2.5，400千伏變壓器的絕緣的造價可以降低15%，500千伏輸電線路建築費用可減低3~5%，運行費降低4~9%。由於這一原因，所以各國都在積極研究降低內部過電壓措施。當前因磁吹避雷器被利用及斷路器採用了並聯電阻，使得330千伏以上電力系統之內過電壓可降低到 $2.5U_f$ ，所以這樣电压等級之電力系統的絕緣水平就可以按照 $2.5U_f$ 來考慮。例如蘇聯400千伏線路即改為500千伏电压運行。又如我國擬定的330千伏电压等級變壓器之工頻試驗电压也由520千伏改為460千伏。

電器設備絕緣的工頻試驗电压是選定設備絕緣尺寸根據之一，這種試驗电压的制定就是根據設備絕緣在運行中會遭受的內過電壓大小出發的，以內過電壓倍數為基礎。但因為絕緣的抗電強度還與一系列的外界條件有關。同時內過電壓與工頻電壓之間在持續時間及波形上都有差別，故制定此試驗电压時應該把這些因素考慮在內。

例如，330千伏變壓器內絕緣的試驗电压即按下列方法定出：

$$U_{\text{test}} = \frac{K \times 330 \times 1.1}{\sqrt{3} \times 0.90 \times 1.3} = 455 \text{ 千伏}$$

實際取460千伏。

式中 K ——為內過電壓倍數=2.5；

1.1——考慮工作电压的升高（最大工作电压）；

0.90——裕度；

1.3——油絕緣在內過電壓時的衝擊系數。

因系內部絕緣故大氣條件沒有影響。

外部過電壓作用於設備上由於其幅值高，故對設備絕緣造成嚴重的威脅，220千伏电压等級以下的電氣設備其絕緣尺寸的選定即主要由外部過電壓大小出發的。外部過電壓的大小是與各種具體條件有關，但所有變電所的電氣設備都由避雷器保護，因此這些設備所遭受的外部過電壓即為避雷器的殘壓，因此避雷器的殘壓就是制定電氣設備衝擊試驗电压的根據。但因被保護設備與避雷器間有一定的距離，其間連接的導線有電感，而設備本身有電容存在，在衝擊波作用時會引起振蕩，這樣作用在電器設備上的电压將較殘壓高。另外還考慮到一定的安全裕度，故變壓器之衝擊試驗电压一般是由下列公式來確定的。

$$U_{t,f} = (1.1U_{c.m.} + 15) \times 1.25$$

式中： $U_{c.m.}$ ——為避雷器在5千安時之殘壓；

1.1——為絕緣的保證在殘壓下不擊穿的系數；

15千伏——為考慮振蕩時之电压升高；

1.25——裕度。因為試驗時只是三次衝擊而實際設備的絕緣是遭多次的衝擊，故乘一系數。

以上所舉的計算例題都是變壓器的內部絕緣，如確定設備外部絕緣的試驗电压時，還需要考慮由於大氣條件的影響所乘的系數，各種電器設備絕緣的工頻、衝擊全波

和截冲的試驗电压可見附录表1和表2，由表中可以看出所有电器设备中变压器的試驗电压較低，这是因为其他电器距离避雷器較远，因此有較大的电压升高之故。

近年来世界各国对限制过电压的措施进行了巨大的研究工作，并取得了很大的成績，例如利用开关并联电阻及磁吹避雷器等办法可以将内部过电压的幅值降低，特別是用于限制大气过电压的磁吹避雷器有較低的残压，这样就使设备的冲击試驗电压可以大大减小，因而也就可能使考虑设备絕緣这一矛盾中的主要方面轉向內过电压。当然在內过电压的幅值被降低至一定数值后，考虑絕緣的所依据的电压又会轉变为正常工作电压，事实上这一情况已开始出現，象我国某些升压線路，因絕緣水平降低后，就有在正常工作电压下发生事故的現象。

从以上有关內部及外部过电压对絕緣的作用情況得知：解决減小设备絕緣尺寸的最主要問題是減小作用在设备上的电压，在当前來說就是进一步降低内部过电压及外部过电压。当过电压降低后就使得在絕緣中所形成的电場之破坏作用減弱，如再合理选择设备的絕緣结构及所用的絕緣材料与制造工艺，则设备的絕緣尺寸就可选得更小，使设备能達到“輕裝上陣”。从而可大大的降低制造成本。

2. 机械性能要求

设备中絕緣介质不仅受到电的作用，而且还会受到电动力及震动等机械力的作用。如絕緣还会受到压力，弯曲力以及拉力等作用。有时它往往还会成为絕緣设备损坏的主要原因，如輸电線路的悬式絕緣子串虽然靠近导線的絕緣子所受的电場作用最大，但运行中损坏的却往往是受机械力最大的靠近杆塔的絕緣子。机械力的作用不仅会使絕緣介质损坏，而有时会因为受到一些损伤而造成其抗电强度的降低，最后会在电場的作用下完全损坏而不能起絕緣的作用。因此在选定絕緣时必須考慮这一因素的作用。必要时我們应根据所能承受的机械力来决定絕緣的性能。如悬式絕緣子即按能承受的机械力分类。为了保証在运行中不因受机械力的作用而损坏，設計制造时必須給予一定的机械强度的安全系数，按苏联电气设备安装規程中規定，戶外变电所用絕緣子机械强度的安全系数不应小于3。對戶內变电所用絕緣子虽未規定，但一般不应小于2。

3. 热稳定性要求

絕緣介质是与金属导电材料紧密結合的，但两者的膨胀系数往往相差很大，因此当溫度变化时，在絕緣内部会产生很大的应力，某些絕緣设备如絕緣子可受到突然的溫度变化，这样使絕緣子内外的应力相差很大，有时会使絕緣子开裂，因此絕緣子必須能承这种溫度变化的作用。否則将不能保証电能的正常供应。

除以上所介紹的有关絕緣性能外，对一些有机絕緣介质（如变压器油，油浸紙等）还需要有一定的化学稳定性，以及較慢的老化，絕緣的老化有各种各样，其产生的原因当然也就不同，一般主要的还是由于高溫及电場作用使絕緣介质的内部結構发生化学变化的結果，关于这一点以后在有关章节中再詳細介紹。

第一章 在空气中沿固体介质 表面放电現象

几乎所有高电压的带电部分都要用固体介质来支持的；而这些绝缘介质又常是被空气包围着，因此我們研究设备绝缘时，首先必須了解沿固体介质表面的空气放电現象。沿空气中之固体介质表面放电是典型的空气放电，不过由于有介质存在而其介质系数与空气的介质系数不同，及由于空间电荷的影响，使得电场发生畸变，故沿介质表面的放电电压較純空气的放电电压低，特別在均匀电場中，这种差別显得更大。图1—1給出了这种关系。

固体介质存在空气中与空气的分界面有如图1—2中所给出的几种形式。图1—2a中绝缘介质和空气的交接面是与电力线一致的，具有均匀电場或稍不均匀电場的各种设备都属于这一种情况。在图1—2b中，空气与绝缘介质交接面是与电力线相切割，此时介质是处在极不均匀电場中，电极边缘附近有較大的电场强度，而且垂直于介质表面之电场强度的分量較沿介质表面的分量强。电极在固体介质表面之位置如图1—2c所示时，则在电极附近形成了极不均匀的电場，电力线在电极附近将穿过介质表面，不过在离电极較远的地方电力线又逐渐与介质表面相吻合，在电极附近空气中电场强度的切线分量大小是与固体介质之介质系数及厚度有关。*b, c* 两种情况是属于不均匀电場情况，下面我們將分別研究在均匀电場和不均匀电場中之沿固体介质之表面放电現象。

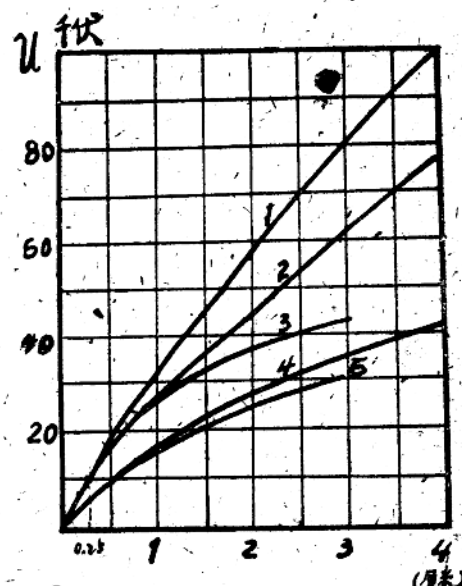


图1—1 在各种电压下均匀电場中沿着玻璃表面的闪络电压。

1—空气击穿；2— 10^6 赫的交流；
3—冲击波；4—直流；
5—50周波交流。

1—电极；
2—绝缘介质。



图1—2 固体介质在电場中之典型布置图

§1—1 均匀电场中之沿面放电現象

当固体介质处于均匀电场中，而且介质表面完全与电力线相吻合，即如图1—2a，这时电场不論在气体中或在介质中都是均匀的，沒有任何电力线作用于介质表面，同时也沒有根据認為电场是被畸变，但即使在这样的条件下，沿介质表面的放电电压也較固体介质不存在时之空气放电电压低得多，只有空气放电电压的 $\frac{1}{2} \sim \frac{1}{3}$ 。

产生上述原因首先是由于电极与固体介质表面接触不紧密，使夹有一层空气层，因为空气的介质系数小于固体介质的介质系数，因此在空气层之电场强度很大，使得空气容易游离，所游离出之电子或离子即沿着介质表面跑出，因游离因子增多，故容易使沿表面发生游离放电。这是1932年日茨研究了这一現象时所提出的，当他用很仔細磨光的电极及介质表面使两者接触很紧密来进行实验时，发现在这种情况下沿固体介质表面放电电压較純空气之击穿电压只低3~5%。而用很理想之电极（罗哥夫斯基电极）及电极与介质接触很紧密时，发现放电并不一定沿着介质表面而是可在两电极間的任何点发生。并且当在电路中接入較大的电阻时，两极間任何点的放电可重复100余次。从上面这些实验中可以看出：电极与介质接触面处存在有薄空气层是使沿介质表面放电电压降低的主要原因。

此外許多学者还进行其他因素影响的实验研究，实验結果发现：容易吸潮的介质（如玻璃及瓷等）之沿面放电电压較純空气低得多，反之不容易吸潮的介质（如石腊等）之放电电压降低較少如图1—3所示。为了进一步証明这种現象，还进行了下列实验，即在玻璃上涂以石腊求其放电电压与湿度之关系，如图1—4所示，由图中得知当玻璃

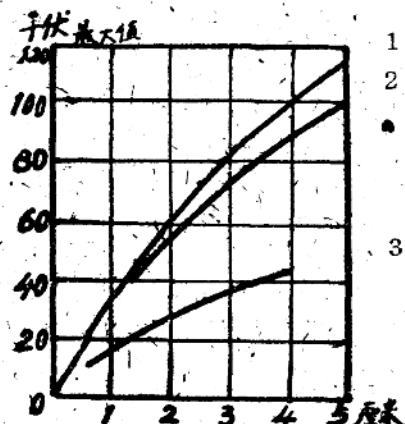


图 1—3 均匀电场中不同介质之沿面放电电压与距离之关系（英益和瓦里捷尔数据）

1. 空气击穿；2. 石腊；3. 玻璃。

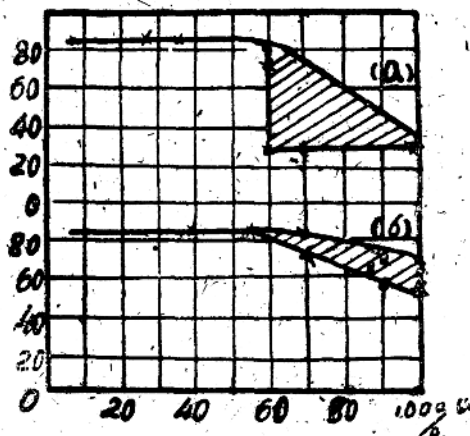


图 1—4 经过不同处理后玻璃之沿面放电电压与湿度之关系，

a. 未处理之玻璃；b. 玻璃表面涂有石腊。斜槢为放电电压的分散性。

表面涂有石腊后其沿面放电电压随湿度升高而降低得很少，同时分散性也很小。

为什么吸潮性較大的介质其沿面放电电压会降低而分散性較大呢？根据瓦里捷尔和英盖的实验研究認為是由于空气中的水气凝結于介质表面，使介质表面电荷重新分布（高压极化引起的），因此改变了原来的电場。他們測量了接近放电电压下沿玻璃表面的电压分布的結果（如图1—5所示）証明了这一解释，同时用烘干后的模型进行同一实

驗，发现此时电压分布現象为直線。由于介质表面凝結水份使电压分布改变，靠近电极处之电場加强，因而使空气容易产生游离，最后形成放电。

由图1—4我們还可以看出：当大气湿度小于50%时沿面放电电压与湿度大小无关，而湿度大于50%时沿玻璃表面之放电电压迅速降低，关于这种現象日茨进行了研究，他認為湿度小于50%时在介质表面只有个别細水珠，因此对放电电压影响不大。而相对湿度大于50%时，它对放电电压是否产生影响則要看潮气是否完全浸湿介质表面而形成薄

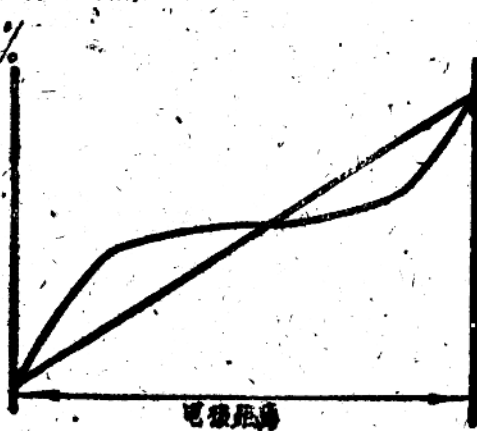


图 1—5 沿未烘干的玻璃表面上的电压分布
(接近放电电压时)。

膜而定，如果是产生了这种情况則会使放电电压大大降低，反之如只是在介质表面形成水珠，此时只有在强电場作用下使水珠被拉长組成导电通道而使放电容易，而和前者一样。如果不容易形成通道則放电电压不降低。所以我們若能够設法使在介质表面上不容易形成水膜或連續的水珠，則放电电压与湿度无关。馬克施塔德曾經在絕緣子表面上做成許多小沟，結果放电电压是与湿度无关。这充分証明了湿度对沿面放电电压所起的影响。

此外，由高頻电压下沿面放电电压較高也可以來解释这种現象，因为湿度之所以影响放电电压是由水气凝結在介质表面使电荷重新分布而改变电場的結果。但电荷的重新分布是需要一个过程，而在高頻下这一过程不容易完成，故湿度的影响也就減小。

§1—2 不均匀电場中之沿面放电現象

图 1—2 之 b 及 c 即属于这种情况。上面分析的有关在均匀电場中之放电現象，同样适用于不均匀电場中，不过由于电极的形状及电場本身已是不均匀，所以任何其他使电場不均匀性增大的过程对于放电电压的影响已不是那样显著。图 1—6 所得的結果充分証明了这一点。以此图与图 1—1 比較，可知在不均匀电場中放电电压較空气击穿电压的降低要比在均匀电場中小得多，这是因为介质的存在引起电极附近电場的畸变，已不再起作用。而由于在这种情况下起始放电容易，当产生电量放电后，电量电流使得电場变均匀，电場强度也就被降低，在高压设备中我們也常常用这現象来改变电場分布。

不过我們必須注意，上述情况只是适用于电力綫沿着介质表面方向。如果电場具

有垂直于介质表面方向的分量，则情况就完全两样，它与不均匀电场中之空气放电一样，由于在电极附近介质表面上堆积有与电极同号之电荷，这些电荷象是电极延长了一样，因而使放电容易，故放电电压降低。

因为电气设备中电极形状大都属于不均匀电场，因此在确定设备绝缘距离时，迫切需要解决不均匀电场下沿表面放电现象及知道放电电压与距离之关系，因此引起人们对不均匀电场中沿面放电问题的重视和研究。

关于不均匀电场中沿介质表面放电问题，捷普列尔进行了较完善的研究，并得出了一些规律和经验公式。捷普列尔认为在不均匀电场中沿面放电发展的特点：除了带电离子沿着介质表面电场的切线分量移动外，垂直于介质表面的电场分量对放电的发展也有很大的影响，带电离子在垂直电场分量作用下紧压着介质表面移动，由于摩擦使得部分发热而产生热游离，由热游离产生的新的离子大大的超过撞击游离所产生的离子，此时沿面放电的伏安特性下降，即放电火花之电阻减小，相当于两电极间的电场强度加大，因此放电继续发展，最后火花由一电极达到另一电极。其放电之发

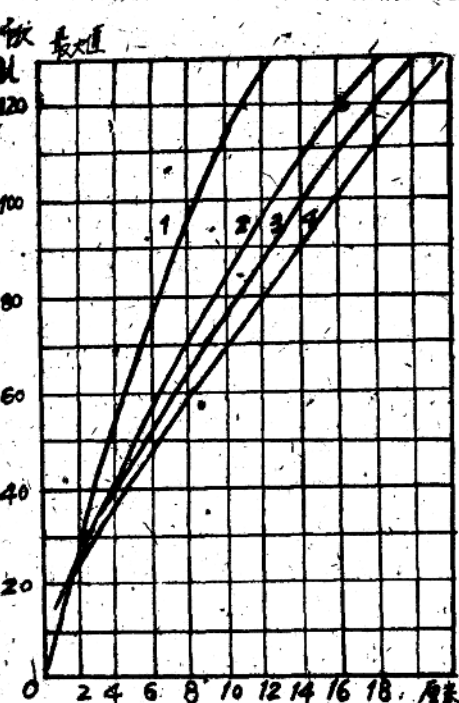


图 1-6 在很不均匀电场中沿各种材料的放电电压与距离之关系。
1—空气；2—石腊；3—酚醛纸；
4—玻璃和瓷。

展情况可以套管为例：加电压于套管。（图 1-7）当电压升高至某一数值后，在法蓝盘处即形成具有微弱光层的电晕放电，电压如继续升高，则在法蓝盘处出现许多平行细线条组成的光带向另一电极发展，其线条的长度随电压的升高而增长。如继续升高电压，则当电压超过某一定临界值后放电的性质发生了变化，某些放电线条的长度开始特别迅速的增长，形状成树枝形，如图 1-7 所示，即形成滑闪放电（沿两电极间的介质表面的不完全放电）；最后发展成两电极间的完全放电（即闪络）；如电源的容量足够大，则由火花转为电弧。

如法蓝盘的边缘做成圆弧形，则第一阶段的无声放电及细线条组成光带的放电形式不明显，而是很快的发展成为滑闪放电。放电时所产生的火花长度与两电极间介质所形成的电容大小有关，电容愈大，火花

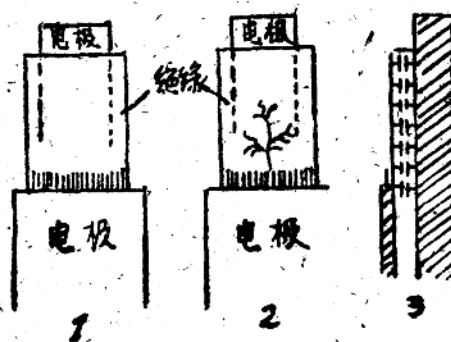


图 1-7 沿套管表面放电的发展情况
1—电晕放电；2—滑闪放电；3—套管表面电容等值图。

愈长，这是因为电容大，电容电流增加，使沿介质表面的电压分布不均匀程度增加之故。此外它还与电压正负极性有关，由于空间电荷的影响，在正极性时放电的火花较负极性长。

开始第一阶段放电时的细线条组成光带之长度，罗特给出了下列经验公式即：

$$l = \frac{u - u_0}{k} \text{ 厘米,}$$

式中 u —— 为外加电压，千伏有效值；

u_0 —— 为出现光带的起始电压，千伏有效值；

k —— 为系数，与介质的介质系数及法蓝盘上电压的极性有关。下表给出了当法蓝盘为正极性时 k 与介质系数之关系。由表中可以看出 k 是随 ϵ 值之减小而减小，在 $\epsilon=5$ 时即达到极限数值（当法蓝盘之电压为负极性时为 7.1）。在交流电压作用下， k 可以按正极性时之数值选定。

表 1-1

ϵ	k
1	15
2	10
3	7.7
4	6.5
5	5.05
6	5.0
7	5.0

u_0 的数值一般是按法蓝盘处空气层之电场强度达到 11 千伏/厘米即产生起始放电来计算的，对圆柱形电极时 u_0 可按下式求出，即：

$$u_0 = \frac{11}{\epsilon} r_a \ln \frac{r_a}{r_i} \text{ 千伏有效值。}$$

式中 r_a —— 法蓝盘圆柱体之内半径，厘米；

r_i —— 圆柱体金属导体之外半径，厘米；

ϵ —— 为电极间介质的介质系数。

平板电极可由式求出，

$$u_0 = \frac{11}{\epsilon} d \text{ 千伏有效值。}$$

d —— 介质的厚度，厘米。

计算滑闪放电之起始电压捷普列尔给出了下列经验公式：

$$u_{e,k} = \frac{1.26}{c^{0.44}} \cdot 10^{-4} \text{ 千伏，有效值。}$$

式中 c —— 为介质表面电容系数，法拉/平方厘米。

当 $c > 0.25 \cdot 10^{-2}$ 法拉/平方厘米时这一公式是完全与实际相吻合，而 c 较小时这一公式只是近似的。图 1-8 为沿面滑闪放电与表面电容系数之关系，图中曲线为计算所得，“+”系实验所得。

对于某些设备如平板电容器，电机之线圈之滑闪放电电压的计算罗特还提出了下面的简单公式，即

$$u_{e,k} = 91 \sqrt{\frac{d}{\epsilon}} \text{ 千伏，有效值。}$$

不过这一公式也只适用于 $\frac{d}{\epsilon} = 0.01 \leq 0.40$ 的情况。

上面我們介紹了確定放電發展第一階段由細線組成之光帶的長度公式，這種長度的確定對設計絕緣結構是很重要的，我們知道絕緣設備在工作電壓下是不允許產生電暈

U_{nep} 伏

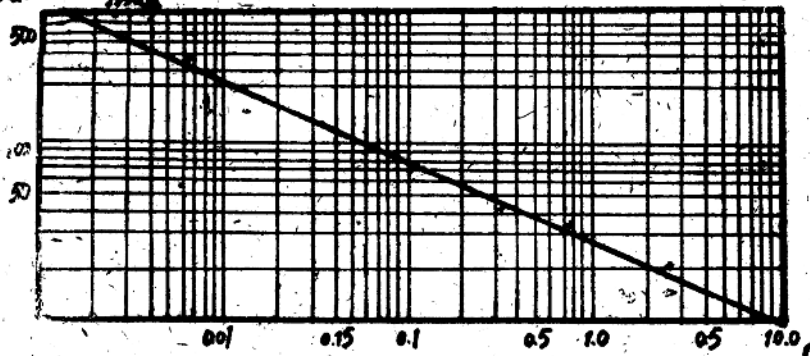


图 1-8 滑闪放电电压与介质表面电容系数之关系

放電的，但為了使絕緣結構的尺寸不致太大，一般在試驗電壓下是允許產生電暈的，不過它的火花長度不應超過絕緣距離，否則即造成短接。故選定絕緣距離時應該知道在試驗電壓下的火花長度。我們除了要知道第一階段由細線組成之光帶的長度外，同時還應該知道衝擊電壓下滑閃放電的火花長度，因為許多外部絕緣不仅是允許在工頻試驗電壓下產生電暈，而且允許在衝擊電壓下滑閃放電之火花有一定長度，這一長度可按捷普列爾給出的公式計算：

$$l_{cr} = k \cdot c^2 u^4 \sqrt{\frac{du}{dt}} \quad \text{厘米}$$

式中 u —— 所加的衝擊電壓，千伏最大值；
 c —— 介質表面電容系數，法拉/厘米；
 $\frac{du}{dt}$ —— 電壓變化的速度，千伏/微秒；
 k —— 系數，負衝擊波時 $= 33 \cdot 10^{16}$ ；
 正衝擊波時 $= 39 \cdot 10^{16}$ 。

由上公式也可求出兩電極間的閃絡電壓，因為只要當滑閃放電的長度 l_{cr} 达到兩電極間的距離 l 時，則兩電極間即發生完全閃絡。故當兩電極間的距離 l 一定時，則按上式可求閃絡電壓；即

$$u_{nep} = \sqrt[5]{\frac{l}{kc^2}} \cdot \sqrt{\frac{1}{\frac{du}{dt}}} \quad \text{千伏最大值}$$

由上式可以看出 $\frac{du}{dt}$ 對閃絡電壓的影響是很小的，而表面電容系數對放電電壓的影響較之 l 大， c 大 u_{nep} 即降低，這是實際中應考慮到的；有時還利用增大電容的辦法來降低放電電壓以達到設備的使用要求，例如防雷用的管形避雷器從間隙 a a 击穿後熄弧的角度來看，我們希望 a a 兩極間的距離 l 愈大愈好，但從保護作用來說我們要求其擊穿電

压较低，也就是 l 应较小。为了解决这一矛盾，将空气间隙 l 尽可能增大以保证容易熄弧；而在管壁间加入附加金属电极 c 以增大电容使放电容易。穆雷尔——赫列布兰德利用管形避雷器在各种不同距离 l 及附加电极之长度下进行试验得出如图1—9之一组曲线。

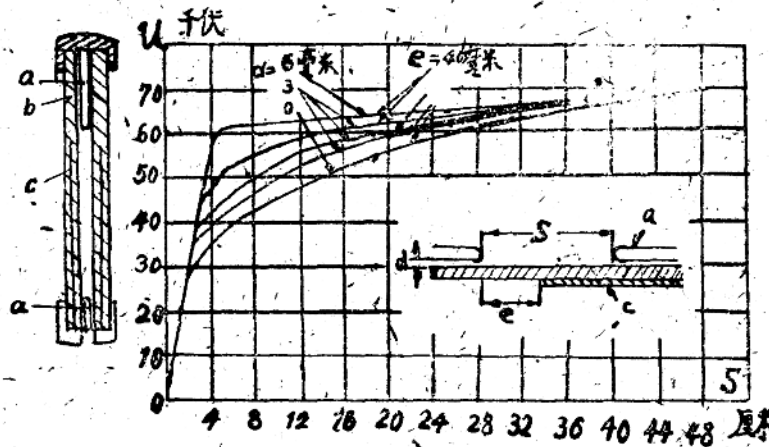


图 1—9 管形避雷器放电电压与电极距离之关系

线。在这一实验中放电是由纯空气间隙的放电和沿面放电两者串联起来的，由图中可以看出当间隙距离 l 很小时基本是属于纯空气放电性质，当距离较大时放电路径有偏向管壁的特性，因此平均放电电场强度降低很大，而且电容愈大（即 e 愈小）放电电压降低得愈多。当 $d=0$ 及 $e=0$ 时（相当电容最大）放电电压最低。这充分证明电容的大小对沿面放电电压的影响。

许多科学家曾在工频和冲击电压下用各种材料作成的圆柱形标本检验捷普列尔公式，结果证明：滑肉放电电压与表面电容系数及两电极间的长度的关系一般是不变的，但是有时对于某些材料这种关系遵守得很好，而对另一些材料来说又不是如此，产生这种情况的原因是否是由于对在电压变化很大时之 ϵ 值估计得不正确，还是各种材料表面特点的影响现在还不是很清楚的，需要进一步研究。

为了进一步了解关于不均匀电场中沿面放电电压与介质的几何尺寸之关系。苏联曼特罗夫曾尝试以数学进行分析，在分析中曼特罗夫忽略了表面电荷及火花电阻影响的作用，而以由表面电容、表面与容积电阻所组成的链形等值回路（图1—10）进行的。

这种回路所代表的设备是我们实际运用中常常遇見的。图1—10b是绝缘设备 D 的等值回路，宽一厘米长为 l 的等值线路图，图中

$$C_s = k \frac{\epsilon_m}{4\pi \cdot 9 \cdot 10^9} \quad \text{及} \quad C_v = \frac{\epsilon_0}{4\pi \cdot d \cdot 9 \cdot 10^9} \quad 1-1$$

k ——为由于高度及电场分布之影响所加的常数。

由图1—10b得下列方程式：